

6705453

1/26

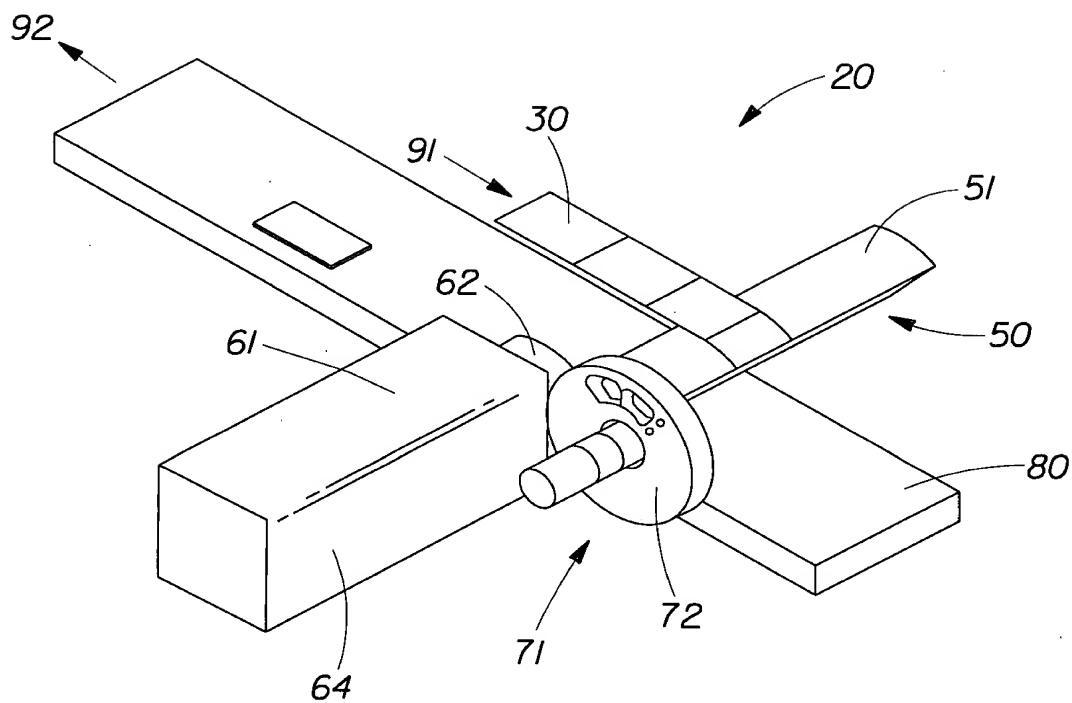


Fig. 1

2/26

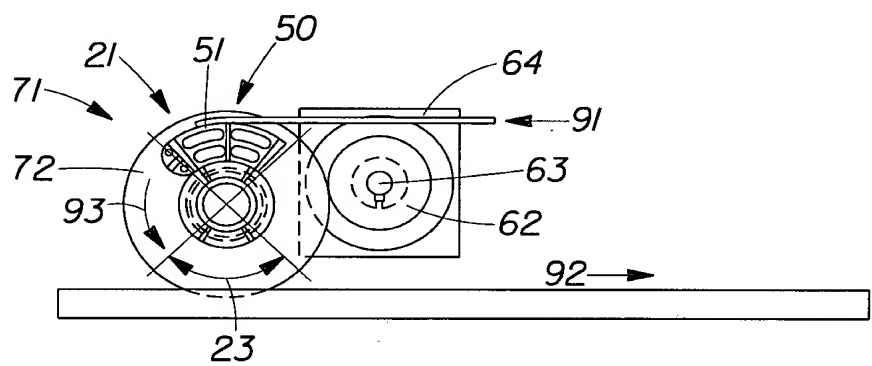


Fig. 2

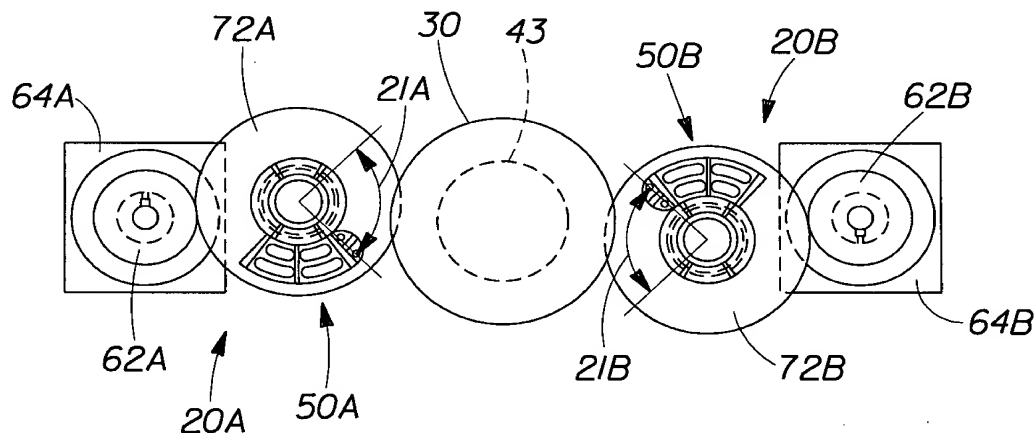


Fig. 3

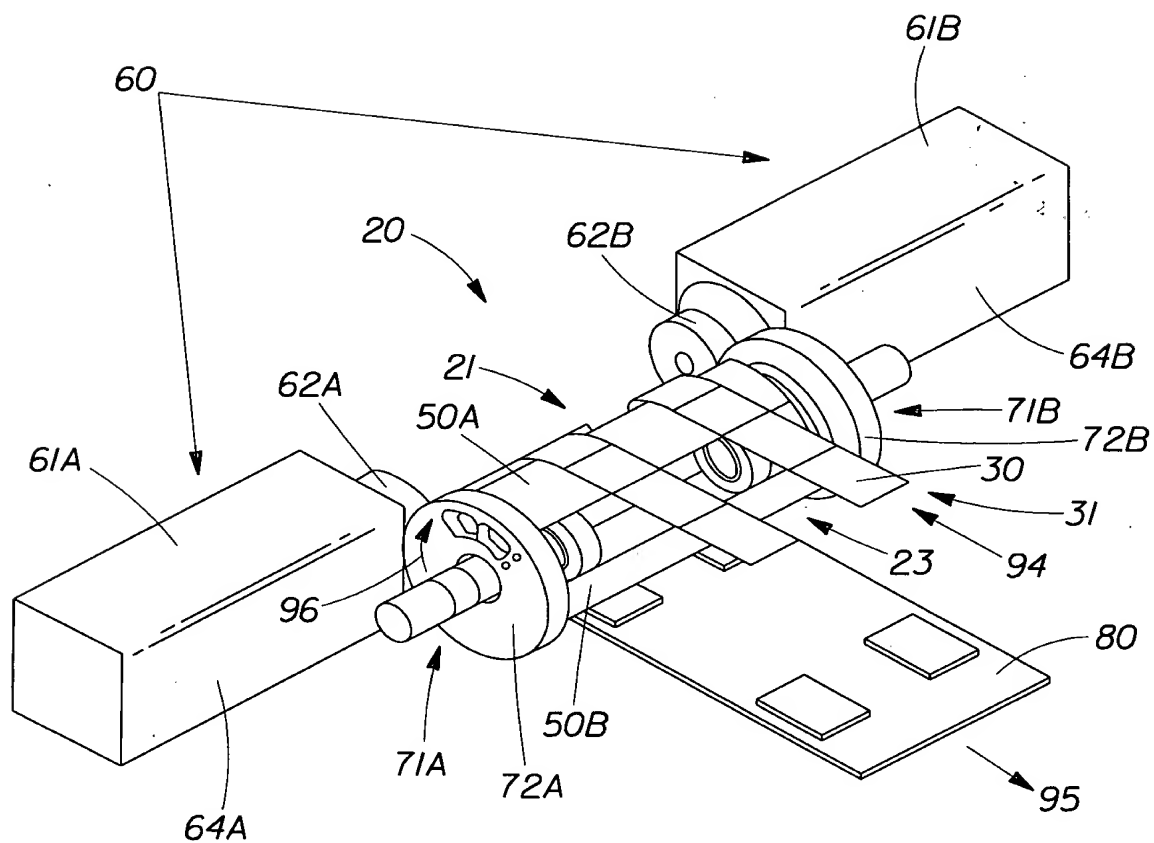


Fig. 4

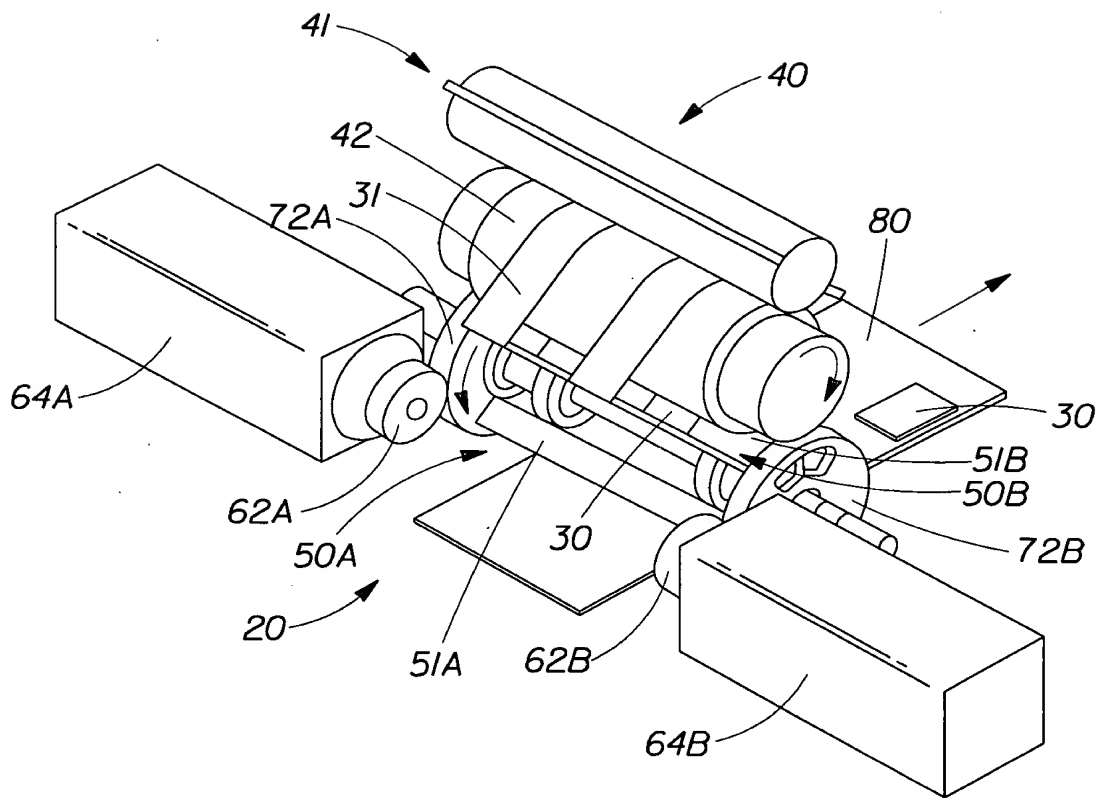


Fig. 5

5/26

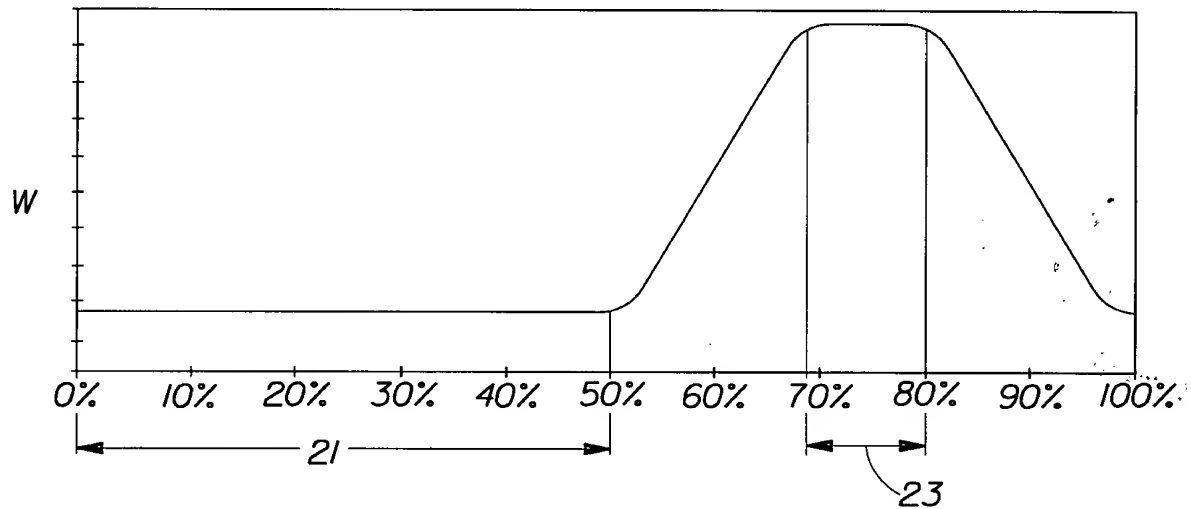


Fig. 6

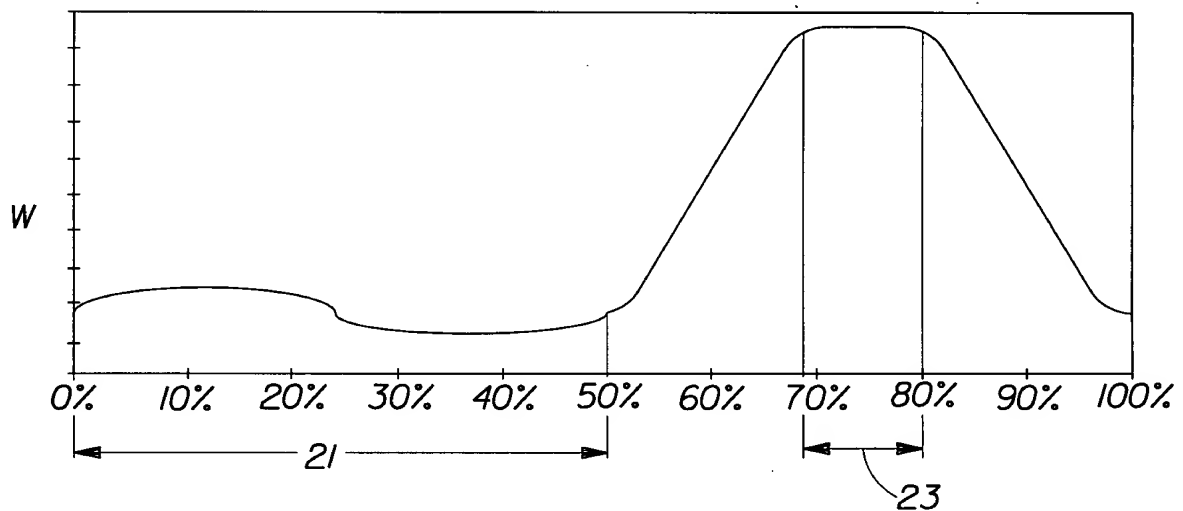


Fig. 7

6/26

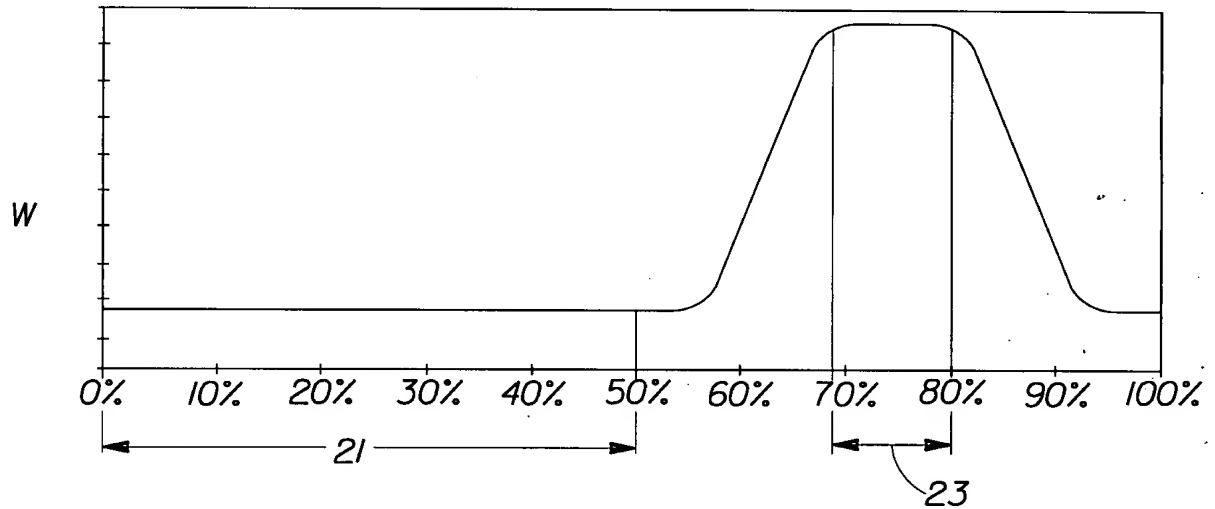


Fig. 8a

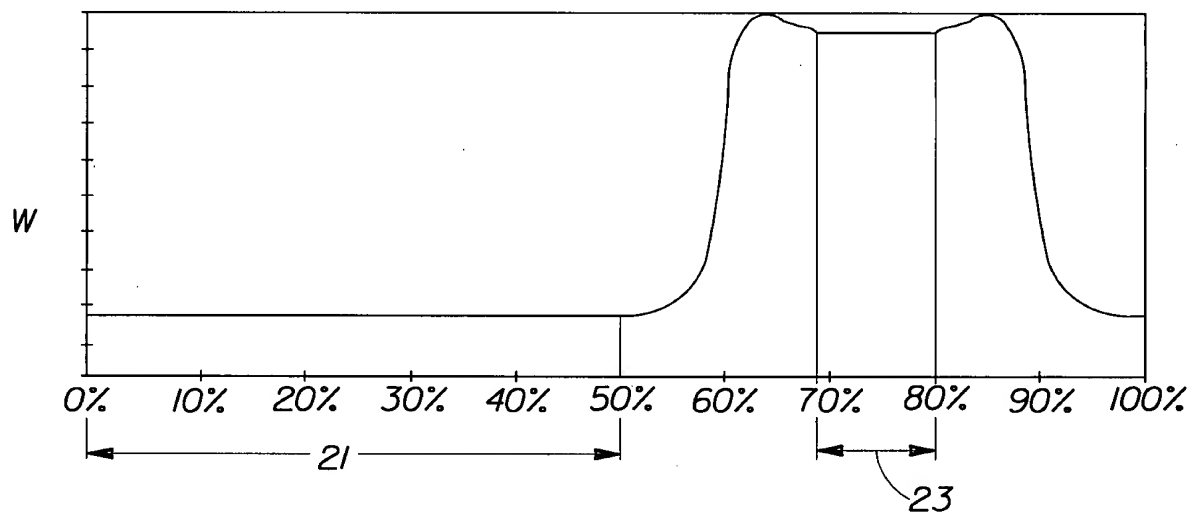


Fig. 8b

7/26

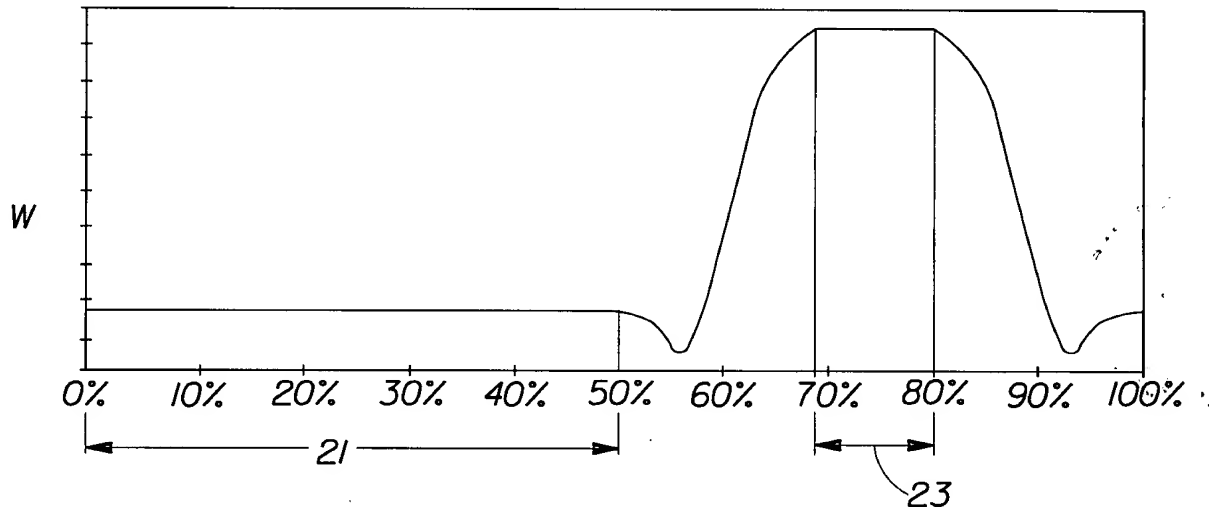


Fig. 8c

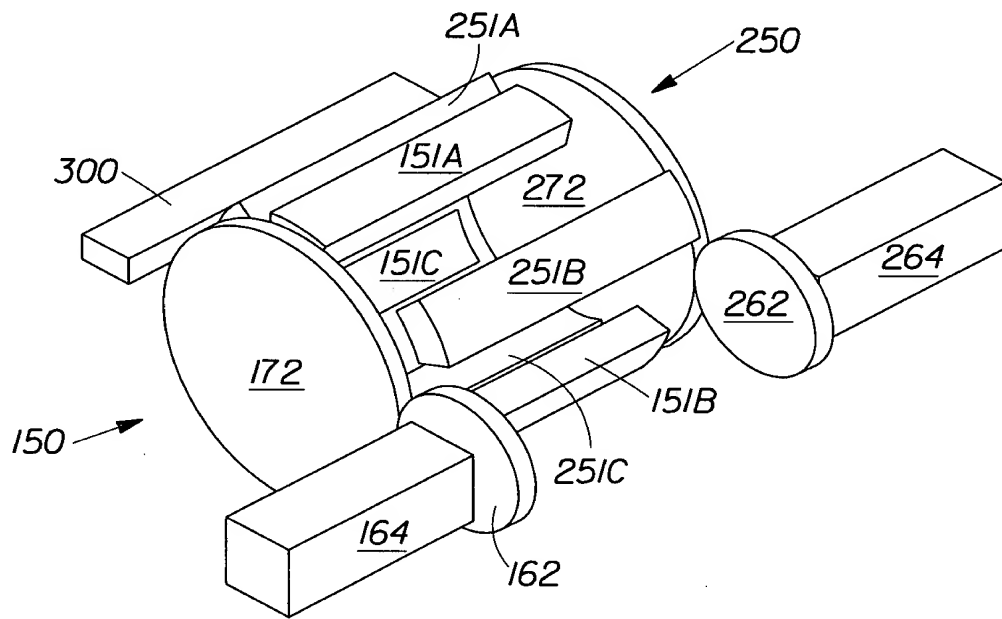


Fig. 9a

8/26

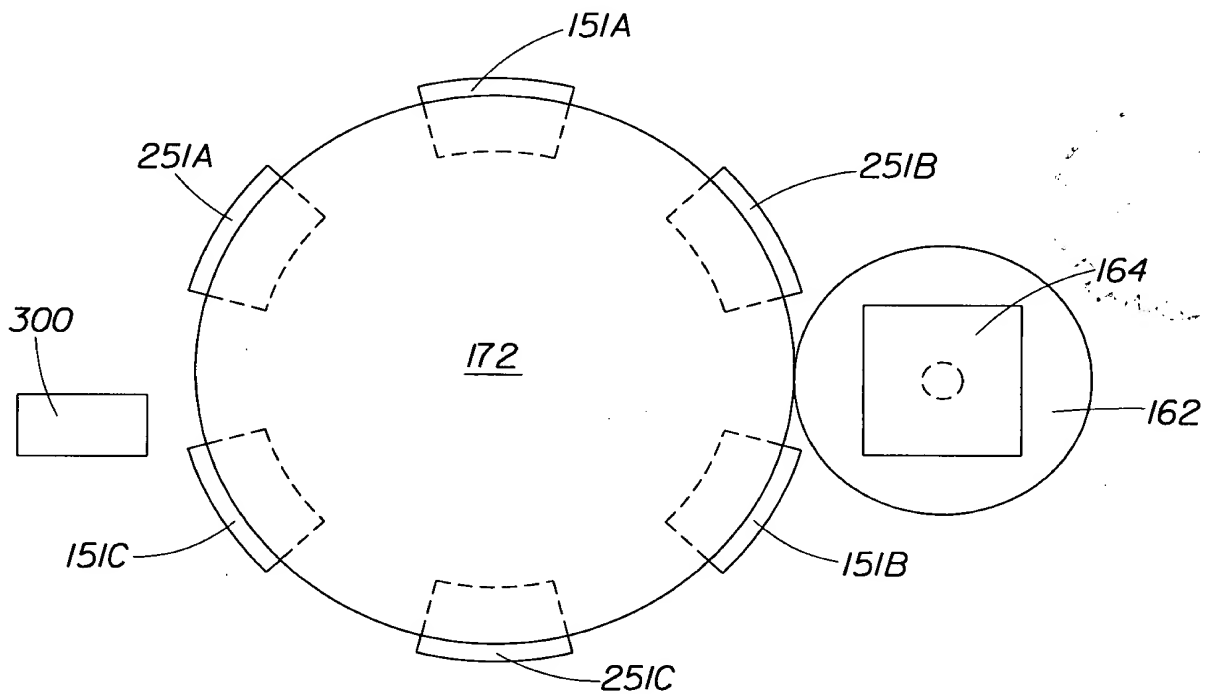


Fig. 9b

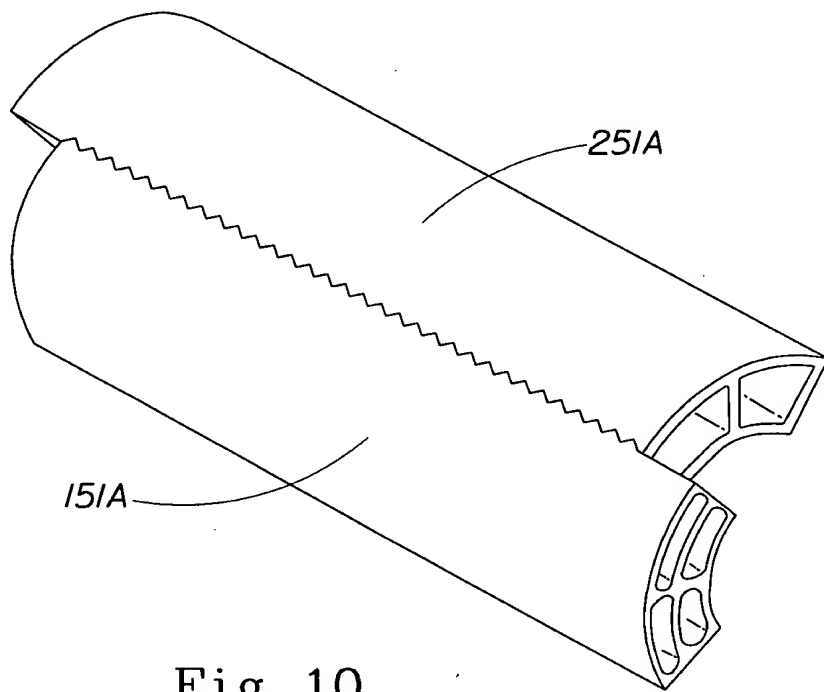


Fig. 10

9/26

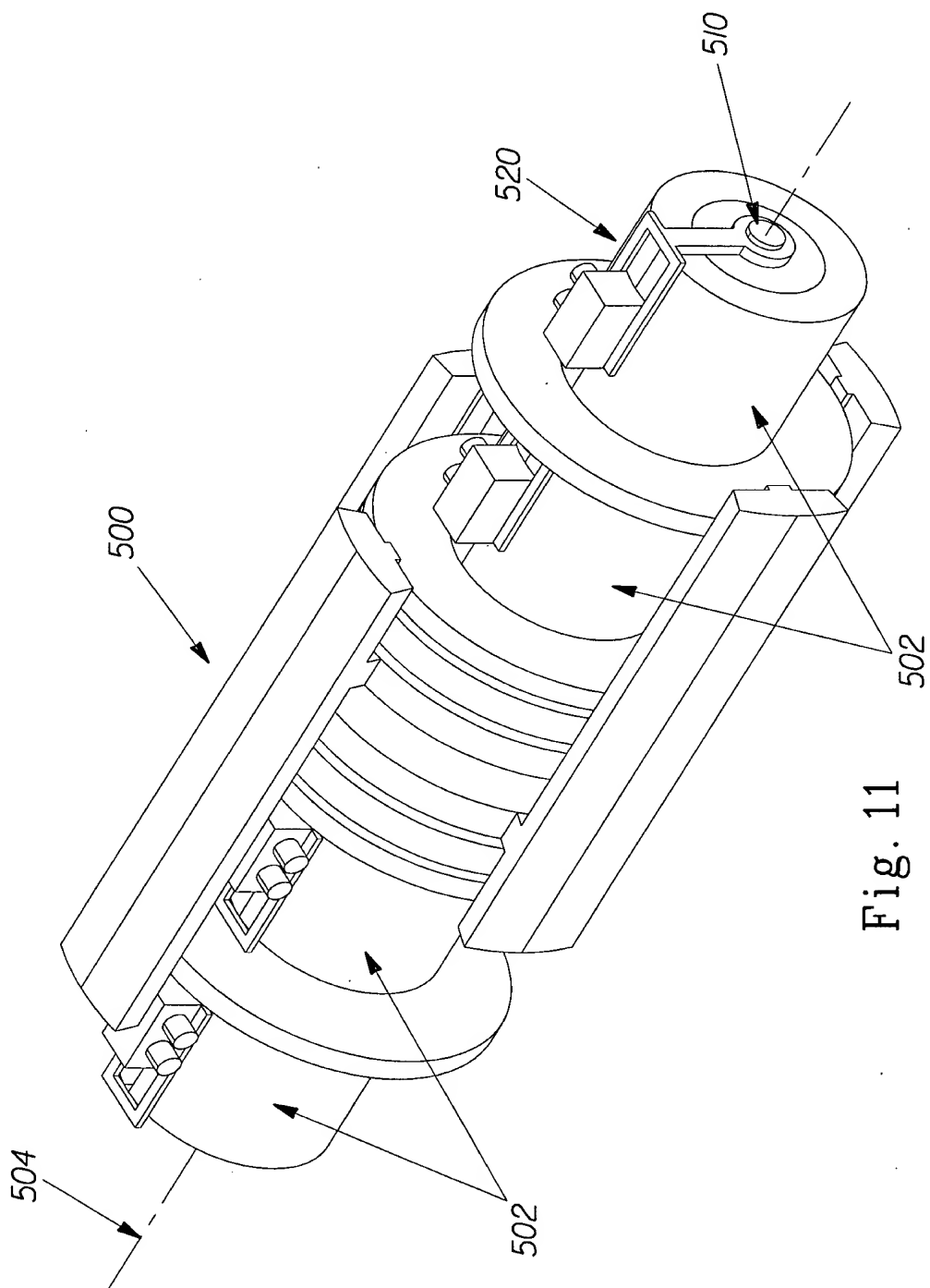


Fig. 11

10/26

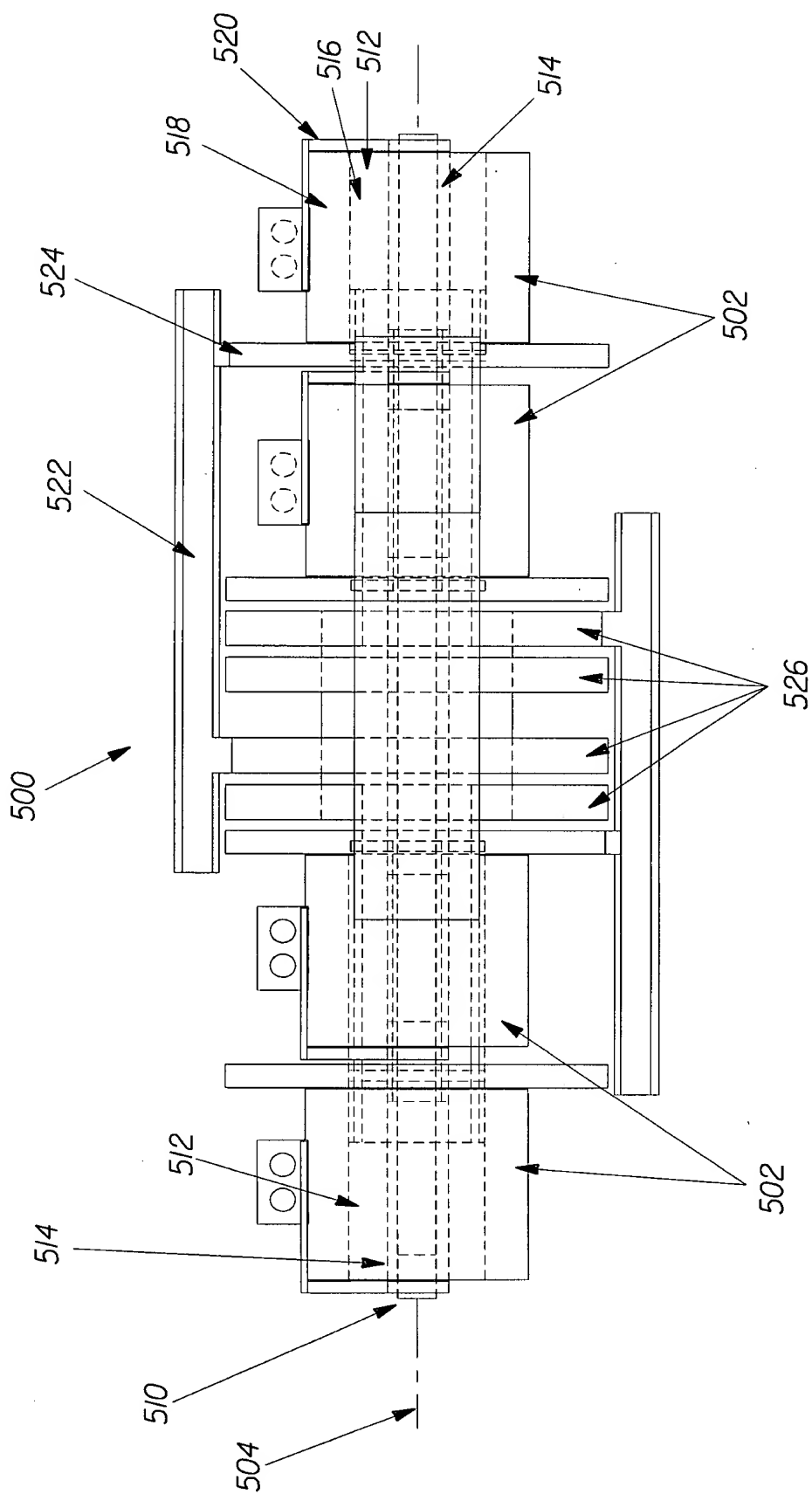


Fig. 12

11/26

100-228253950

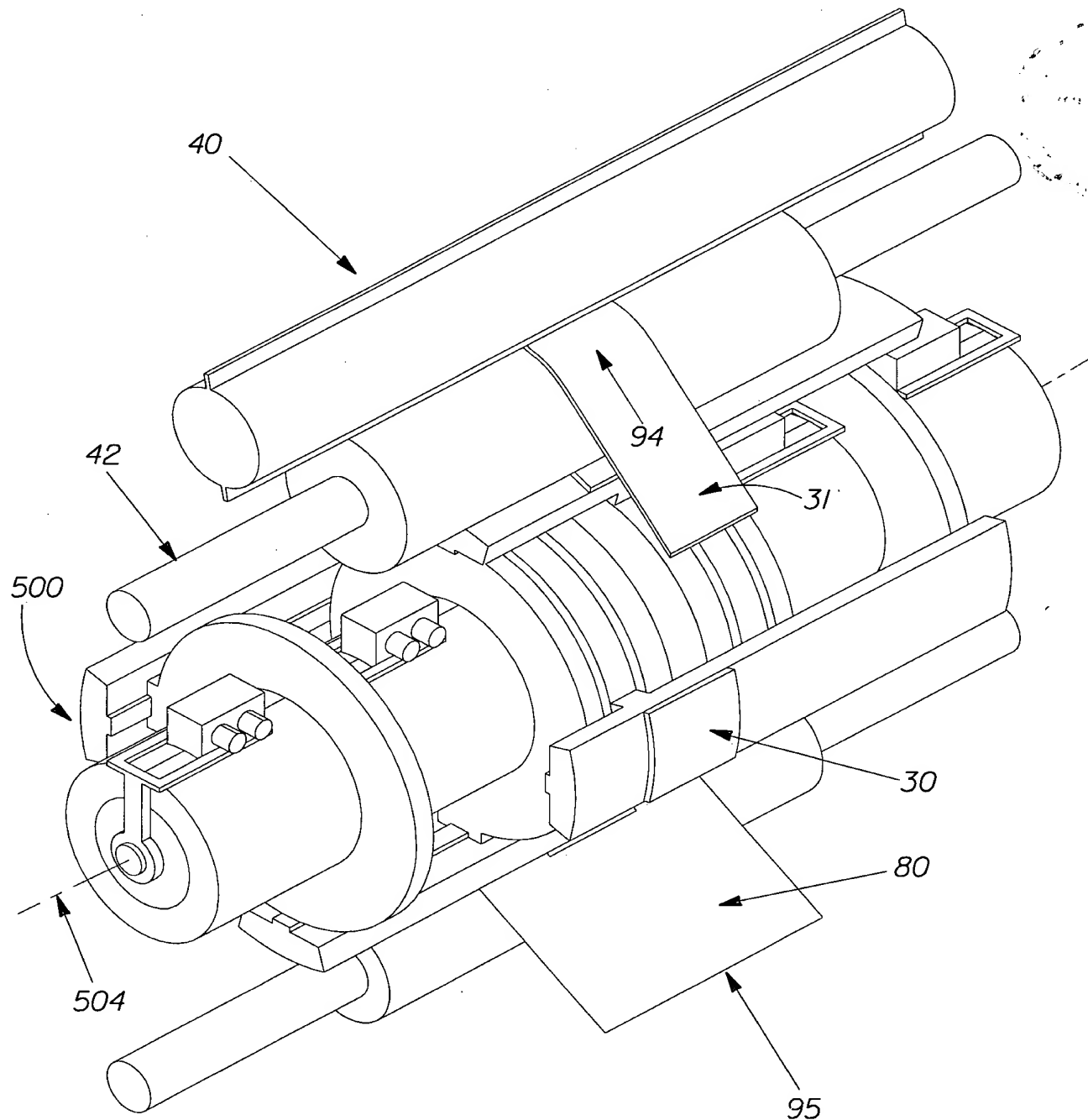


Fig. 13

12/26

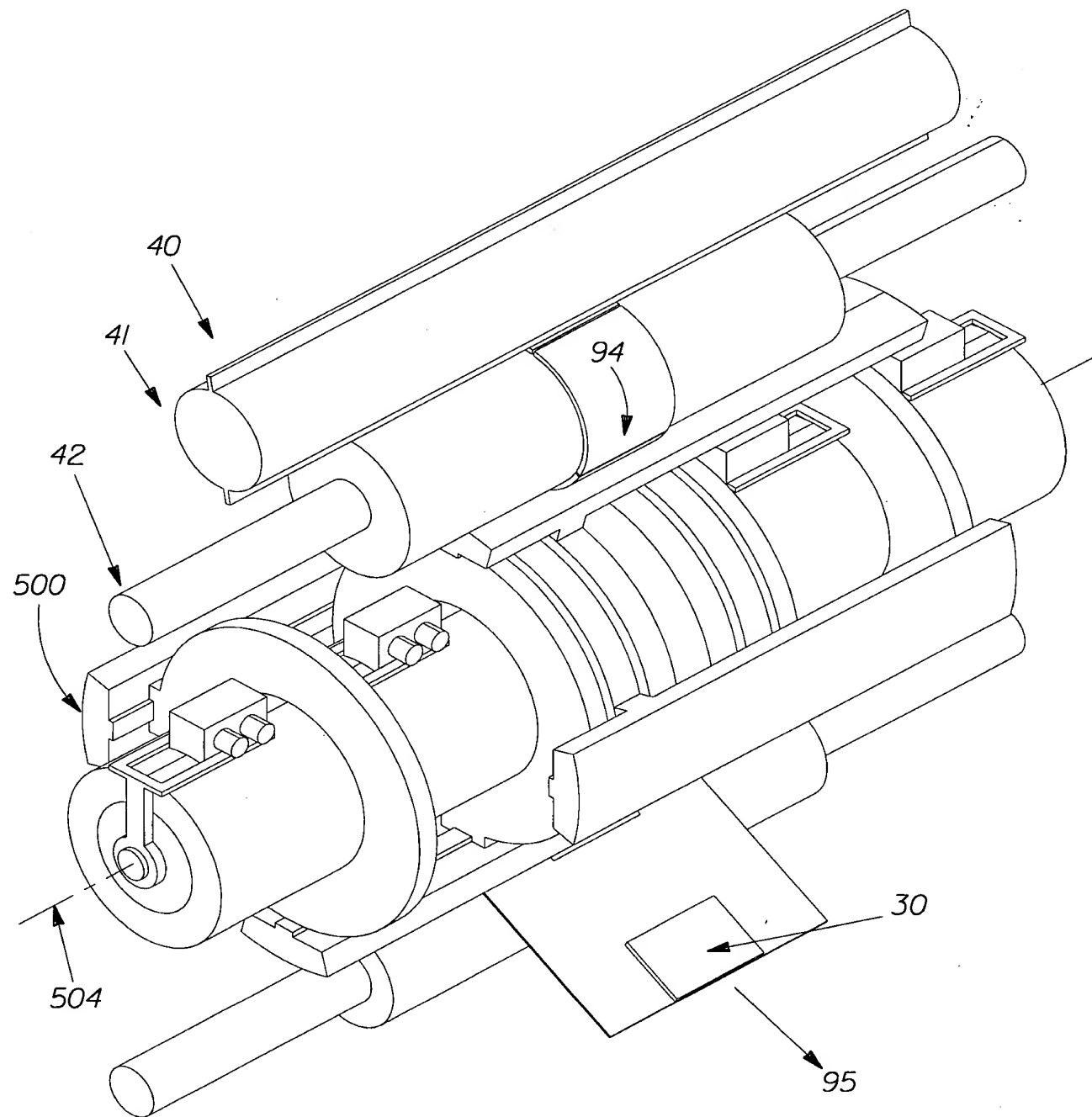


Fig. 14

13/26

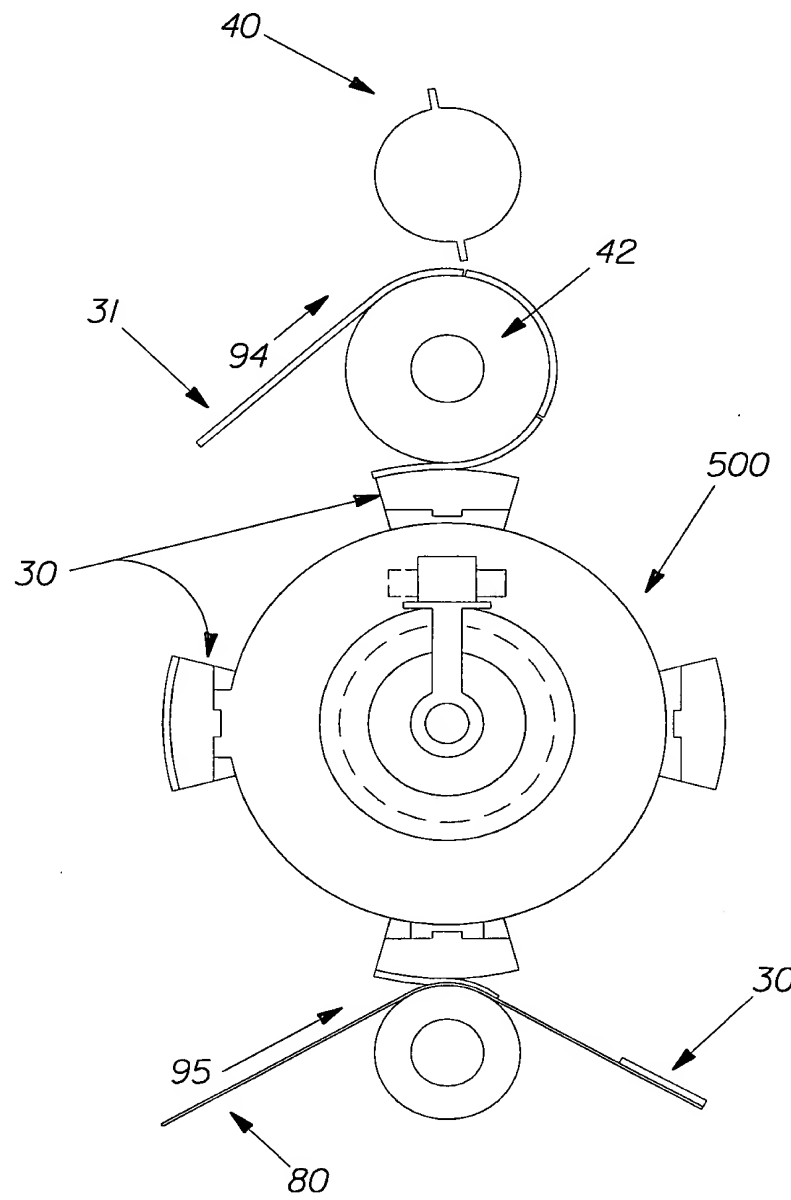


Fig. 15

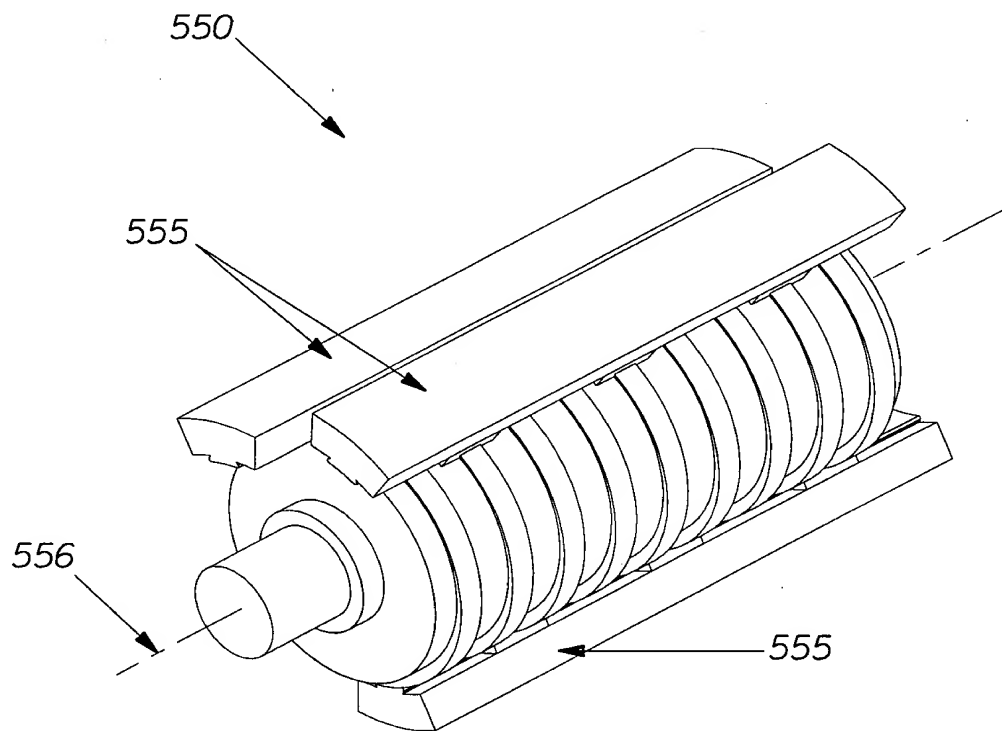
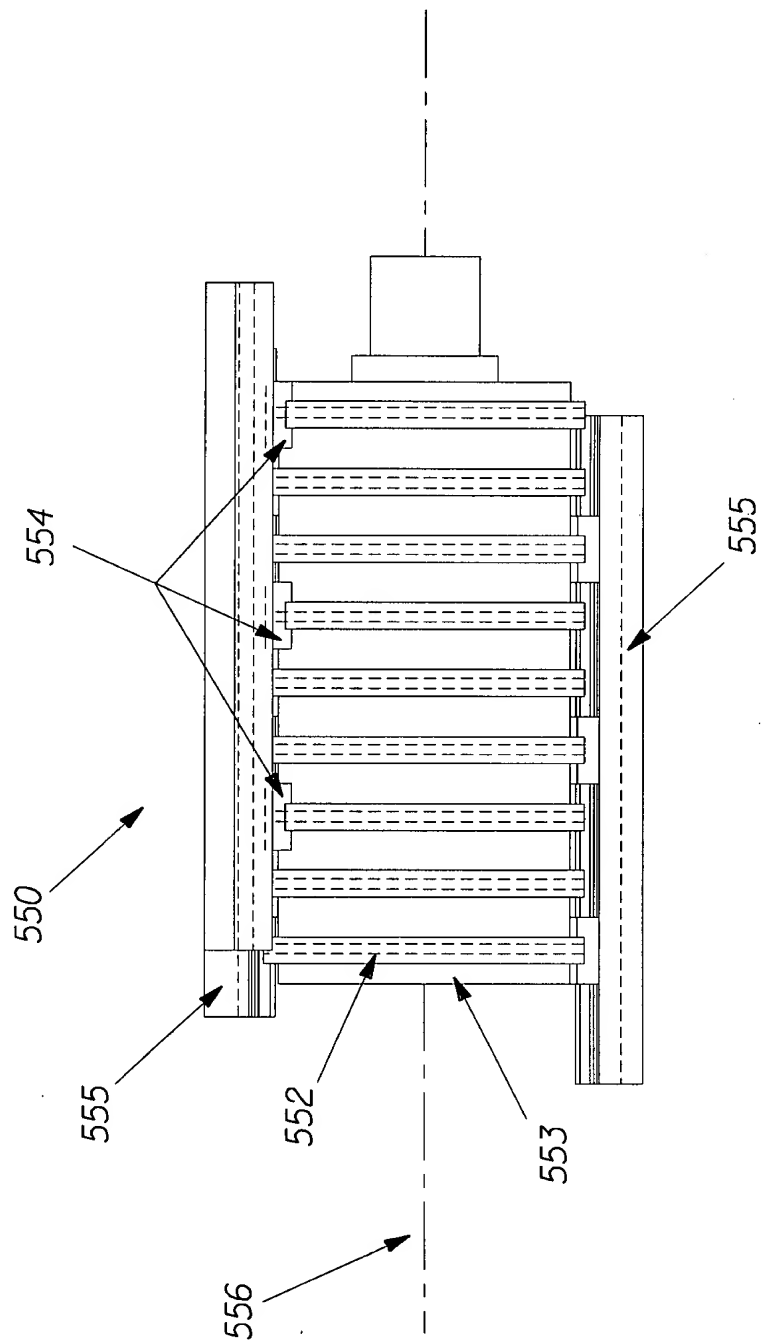


Fig. 16

Fig. 17



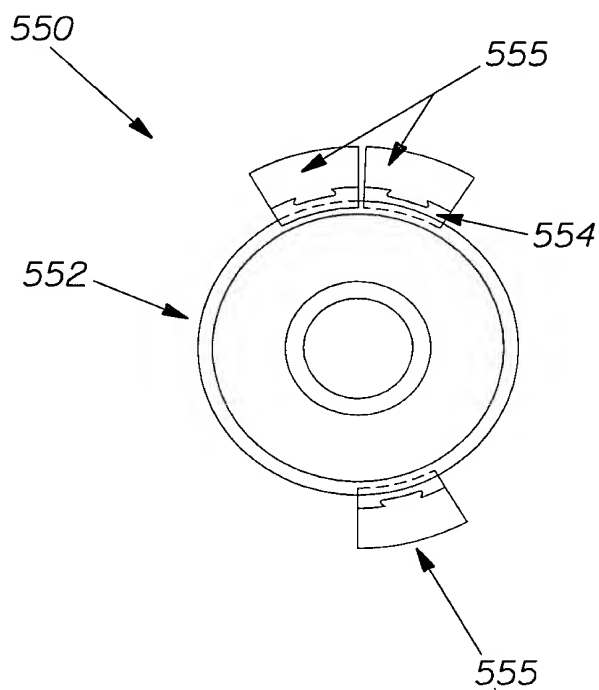


Fig. 18

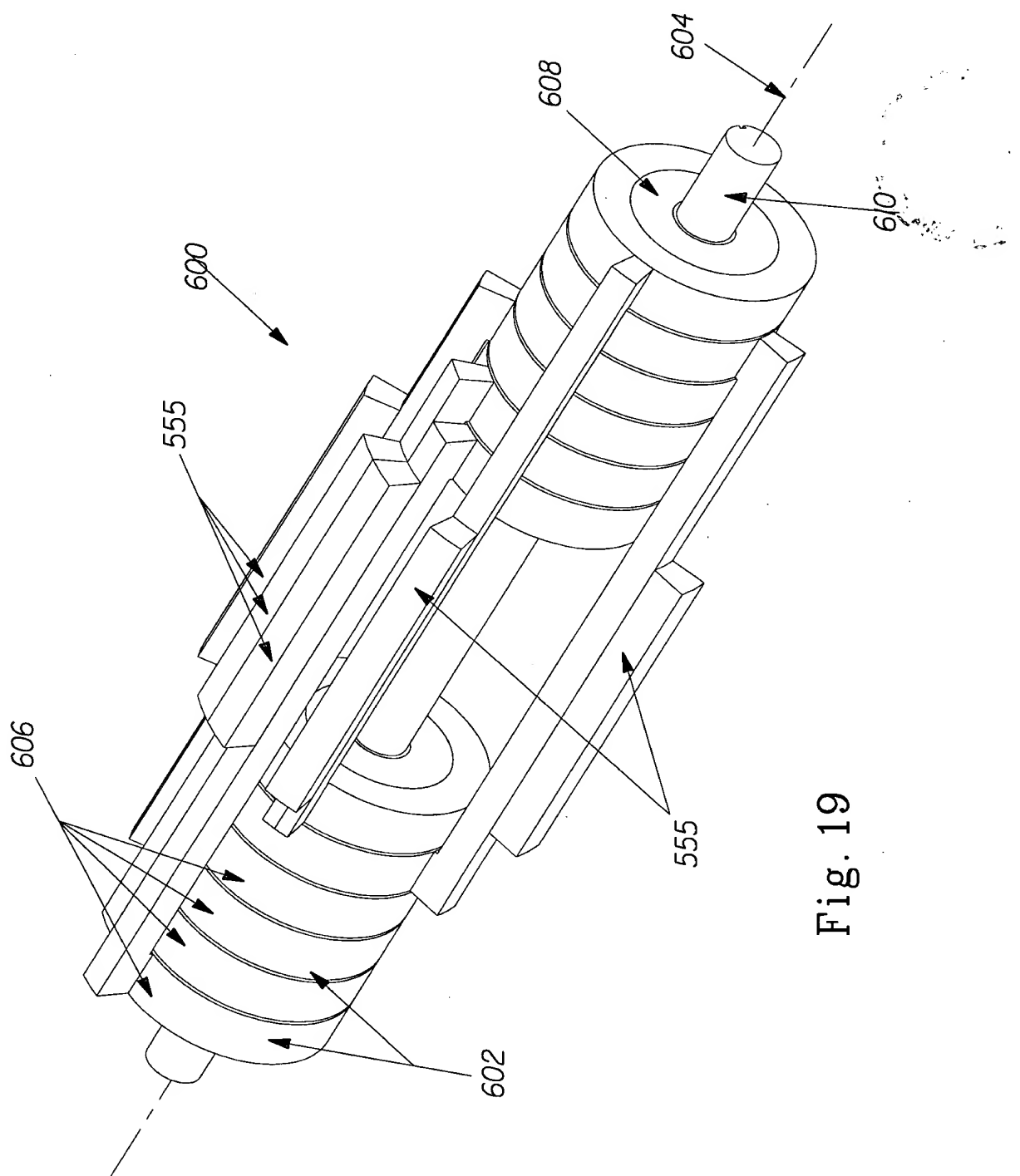


Fig. 19

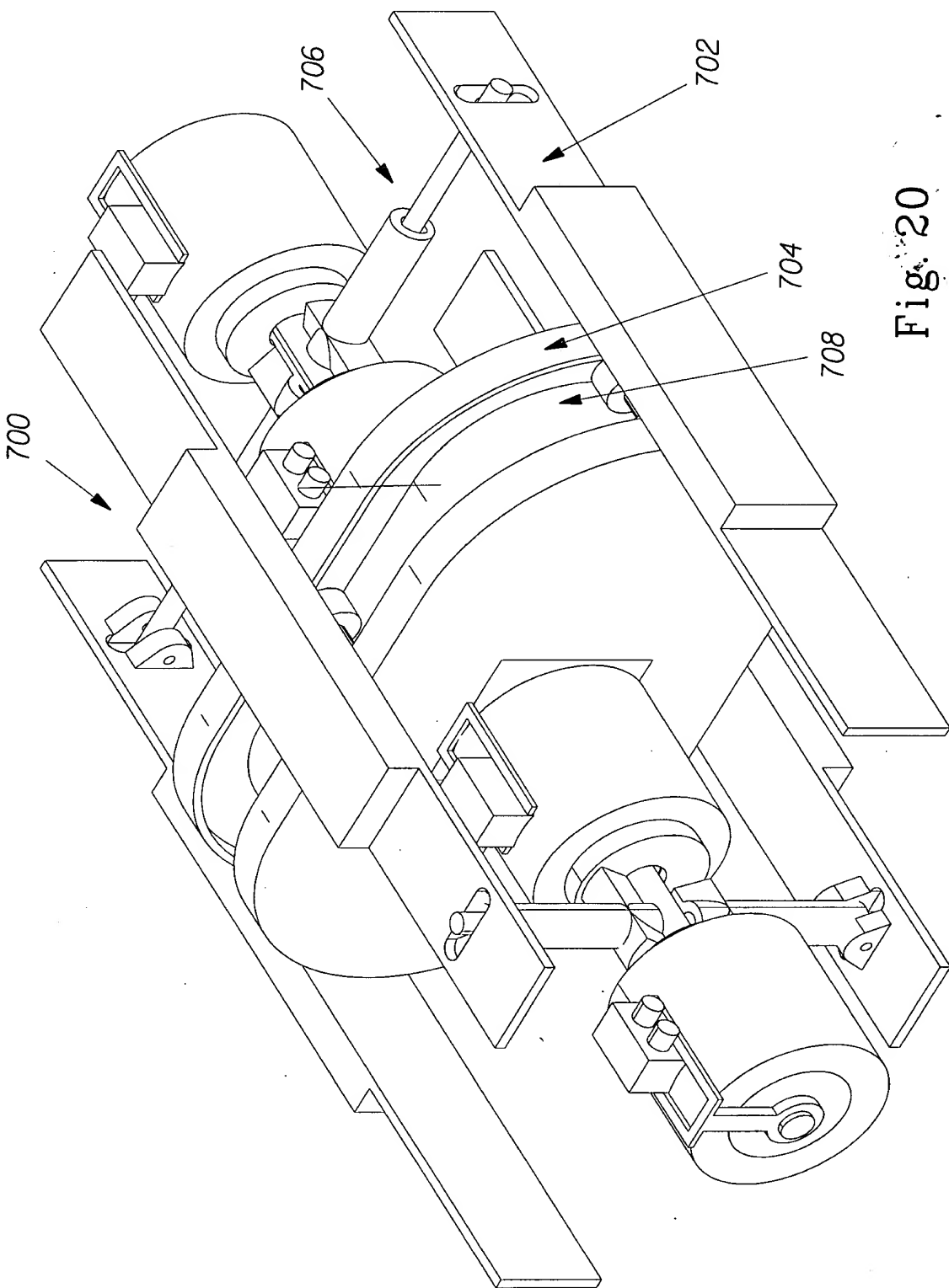


Fig. 20

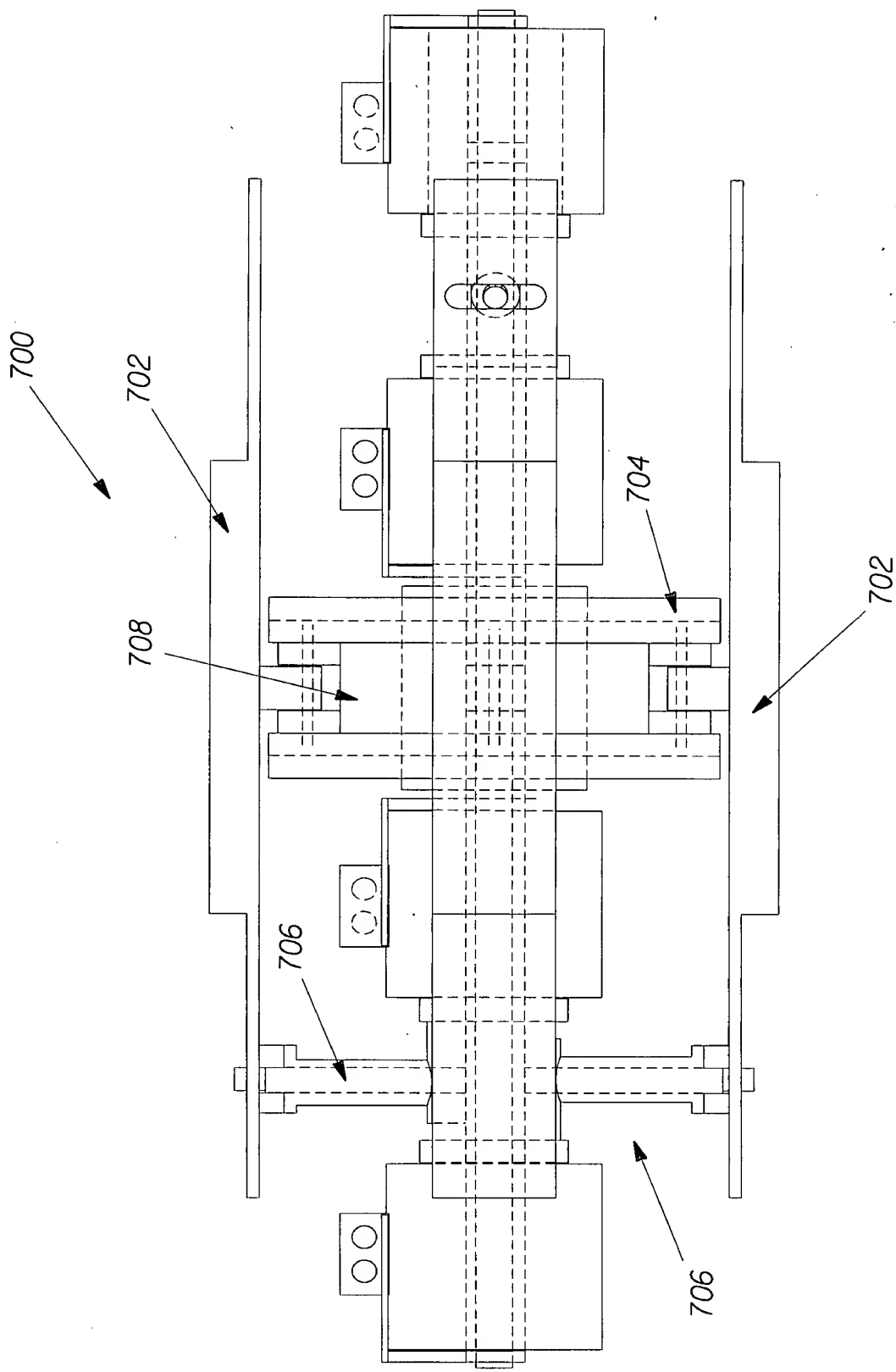


Fig. 21

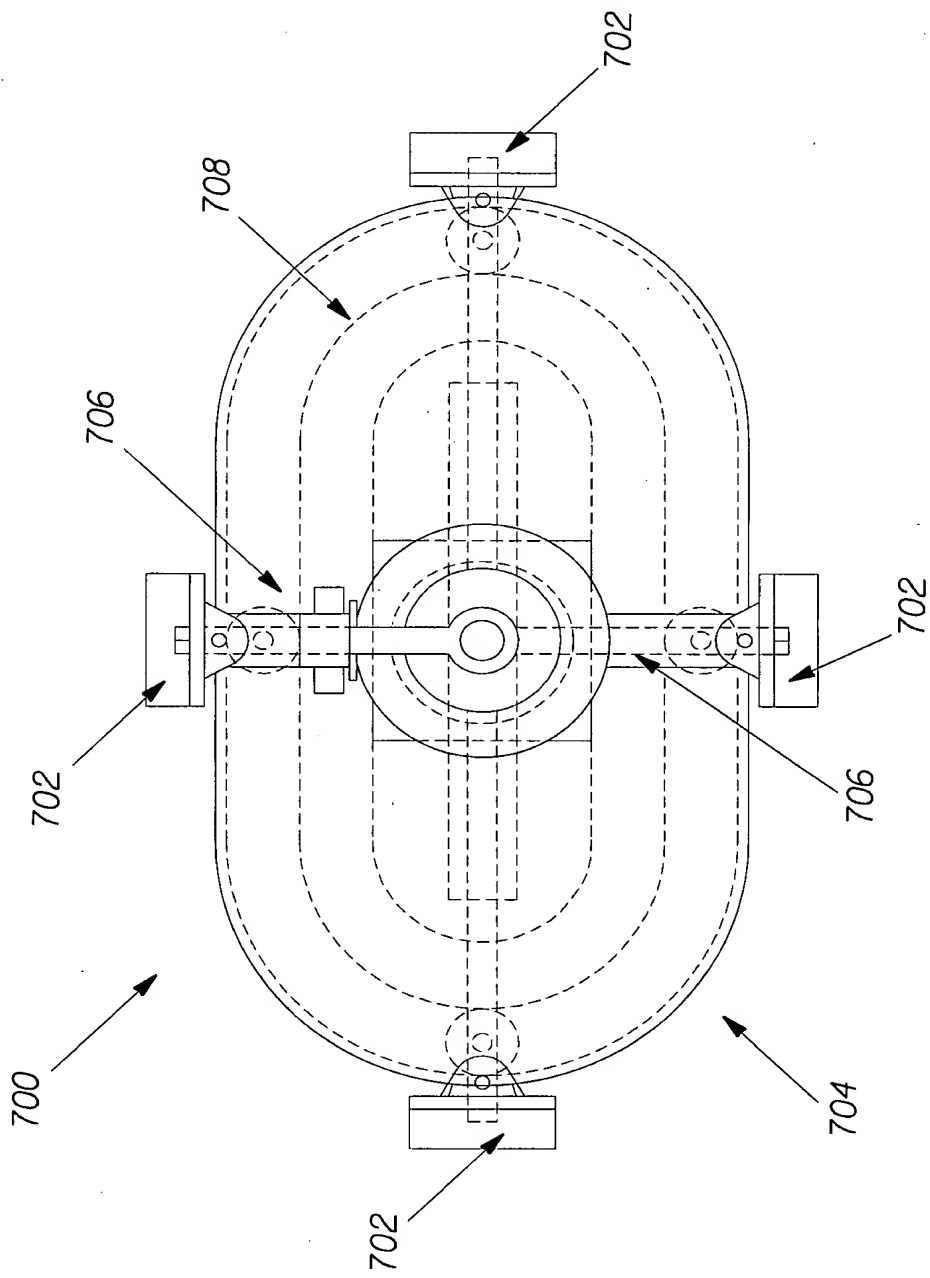


Fig. 22

21/26

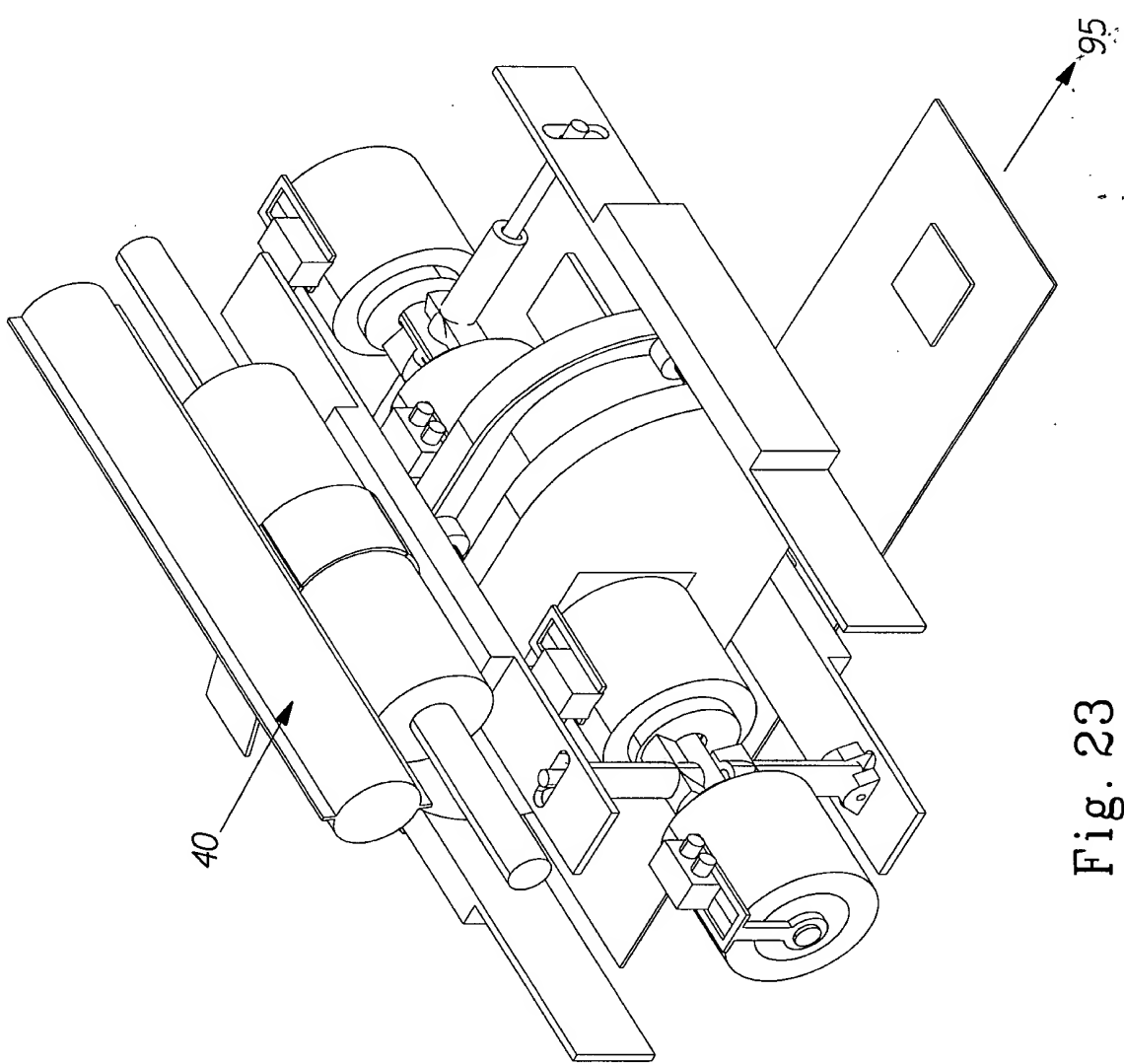


Fig. 23

22/26

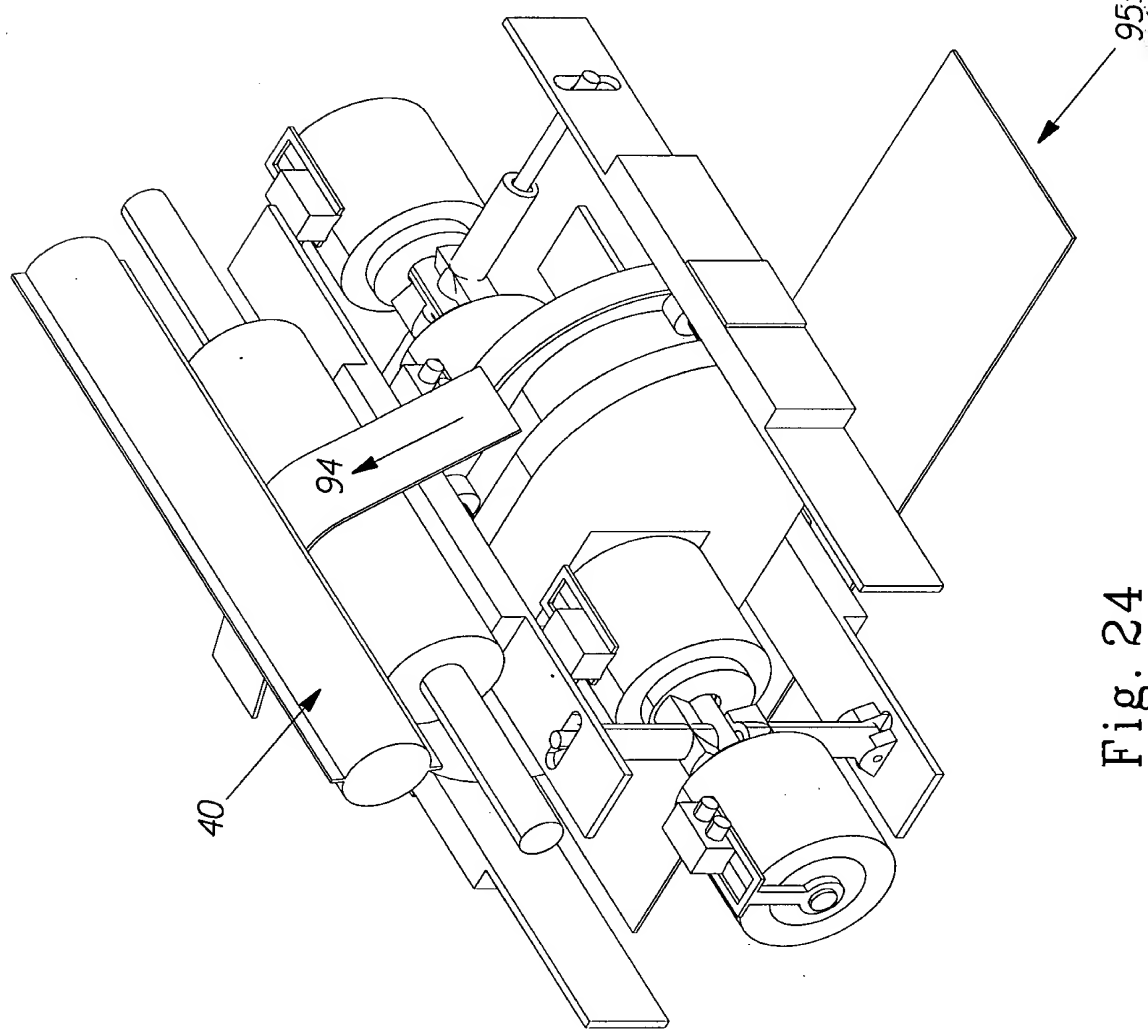


Fig. 24

23/26

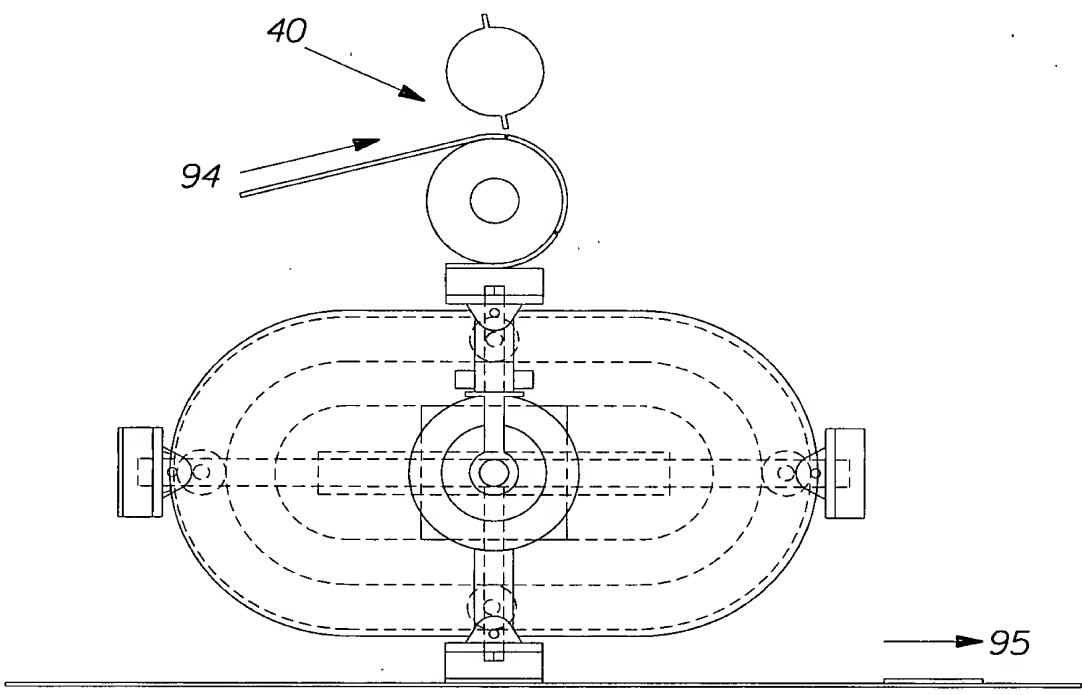


Fig. 25

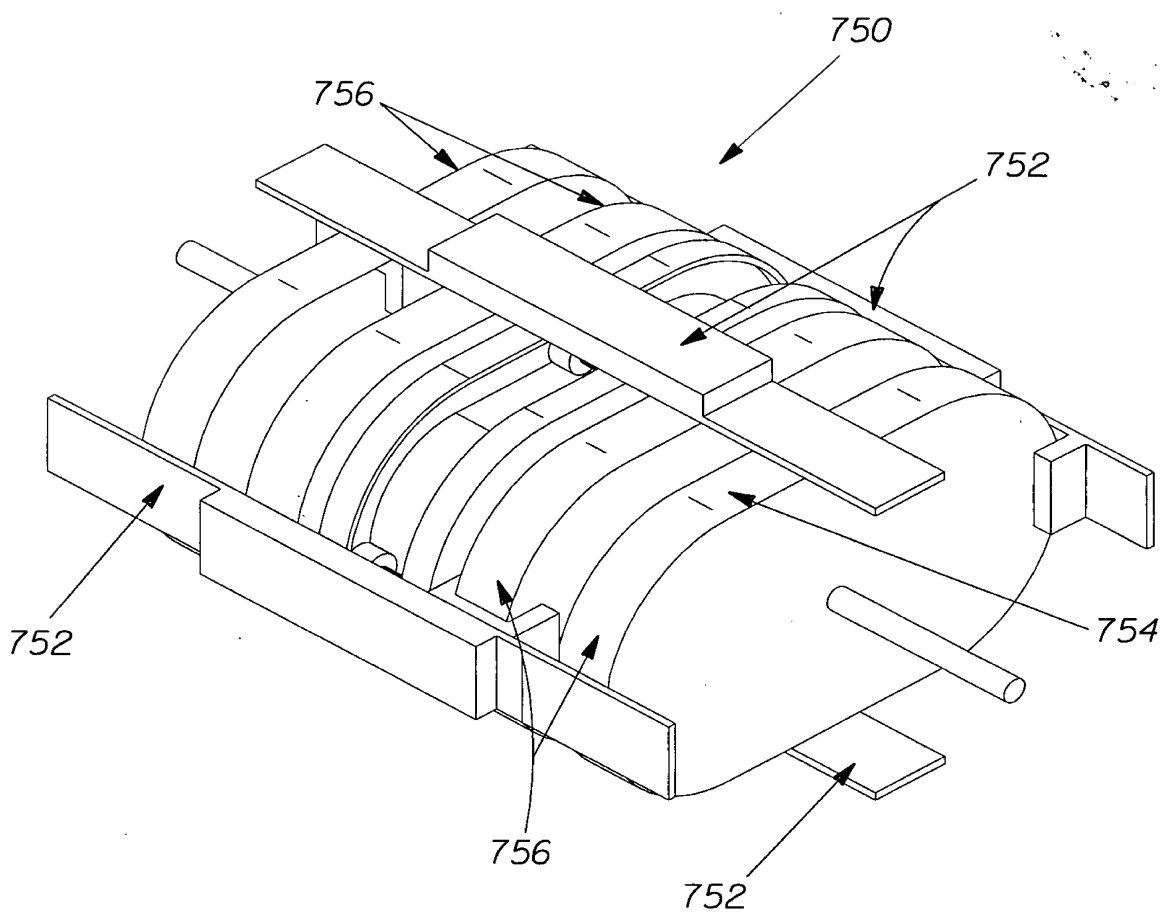


Fig. 26

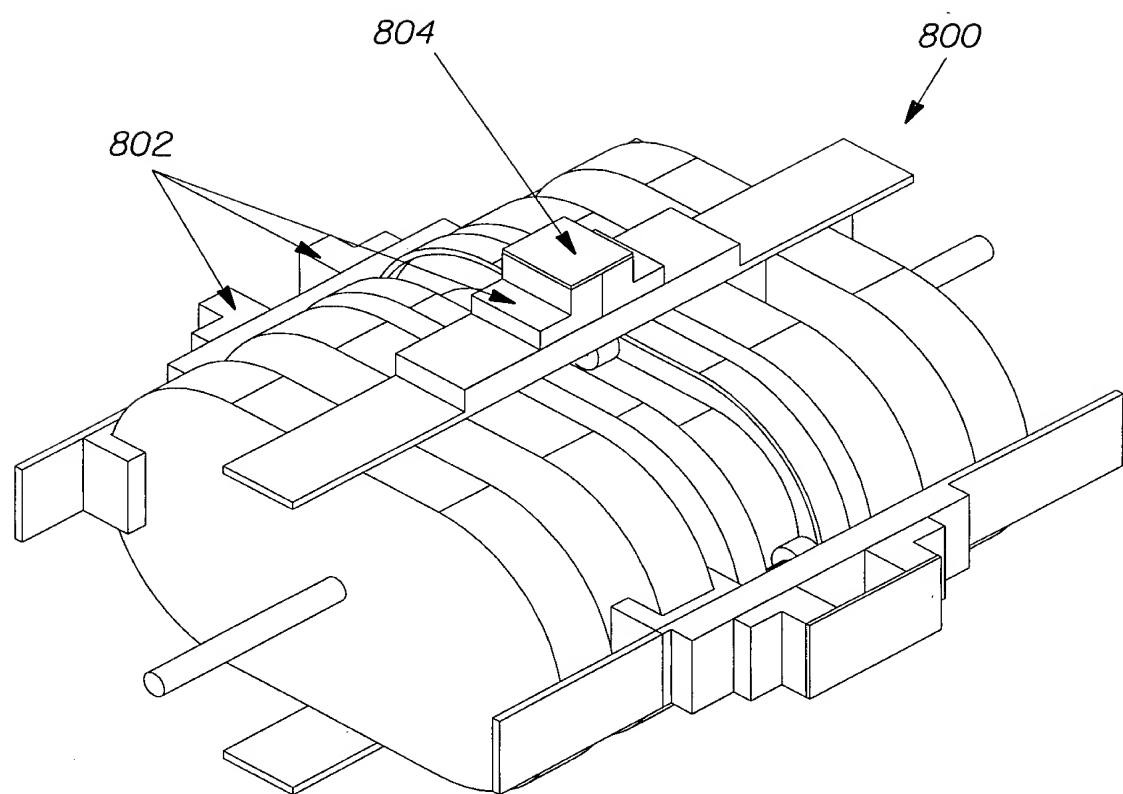


Fig. 27

26/26

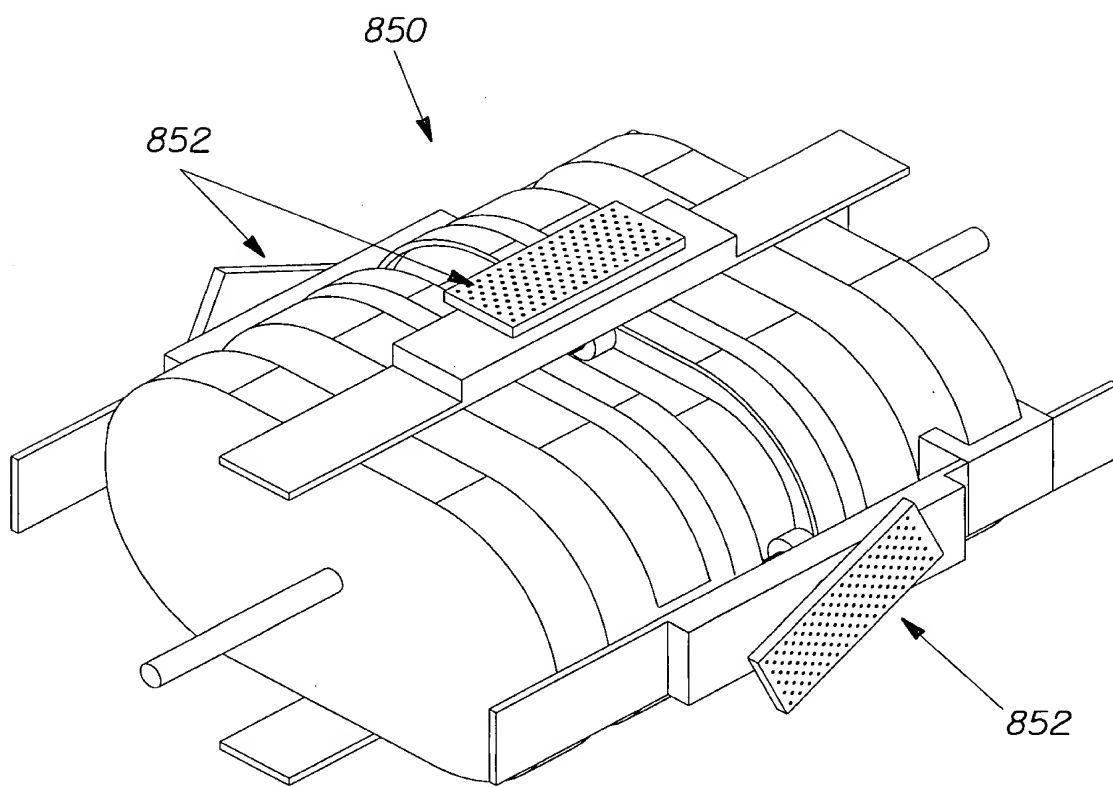


Fig. 28